

توزیع لرزه‌خیزی در جنوب زاگرس با استفاده از همبستگی آماری بین b -value و بعد فرکتال لرزه‌خیزی

علی رومینا^۱، سعید زارعی^{۲*}، سیدرضا منصوری^۲ و امید آزادی جو^۳

^۱ دانشجوی کارشناسی ارشد، دانشکده علوم و فناوری نانو و زیستی، گروه ژئوفیزیک، دانشگاه خلیج فارس، بوشهر، ایران

^۲ استادیار، گروه ژئوفیزیک، دانشکده علوم و فناوری نانو و زیستی، دانشگاه خلیج فارس، بوشهر، ایران

^۳ کارشناس ارشد شرکت سهامی آب منطقه ای بوشهر، بوشهر، ایران

(دریافت: ۱۴۰۱/۰۶/۰۸، پذیرش: ۱۴۰۱/۰۱/۰۴)

چکیده

در دو دهه گذشته، بخش خاوری منطقه جنوب زیرپهنه فارس در کمربند کوهزایی زاگرس فعال بوده است. در این مطالعه، تغییرات نرخ لرزه‌خیزی بخش جنوبی زاگرس در پهنه فارس از سال ۲۰۰۰ تا ۲۰۲۱ بر پایه تغییرات فراسنج لرزه‌خیزی (b -value) و بعد فرکتال لرزه‌خیزی (D-value) با استفاده از داده‌های لرزه‌های دستگاهی بررسی و تحلیل شده است. برای اندازه‌گیری فراسنج لرزه‌خیزی b از روش حداقل مربعات و برای محاسبه بعد فرکتالی زمین‌لرزه‌های رخداده از روش انتگرال همبستگی استفاده شده است. برای تهیه نقشه‌های پهن‌بندی نیز از روش همسایگی استفاده شده است. کاهش مقدار b در شمال خاوری نشان می‌دهد تنش در این بخش در حال افزایش است که می‌تواند نشانه‌ای از یک زلزله بزرگ در آینده باشد. تغییرات مکانی b نشان می‌دهد بخش شمال خاوری در مقایسه با بخش جنوب باختり کمتر در فشار است. با توجه به اینکه ضربه همبستگی حدود ۰-۷۸ است؛ لذا میزان احتمال رخداد زمین‌لرزه‌های بزرگ روی گسل‌هایی با مساحت زیاد افزایش می‌یابد. با توجه به نقشه‌های پهن‌بندی و شناسایی مناطق با تنش زیاد در محدوده مطالعاتی، بخش‌های شمالی گسل MFF و گسل برازجان و مناطق اطراف شهرهای جم و فراشبند و در مراحل بعد، خورموج مناطق احتمالی رخداد زمین‌لرزه آتی معرفی می‌شوند. این نتایج نشان می‌دهد این رویکرد می‌تواند ابزاری مفید برای ارزیابی توزیع توان لرزه‌ای در مناطق فعال لرزه‌زمین ساختی باشد.

واژه‌های کلیدی: زاگرس، فراسنج لرزه‌خیزی، b -value، بعد فرکتالی

۱ مقدمه

ایران از مناطق مهم لرزه‌خیز جهان است. تحلیل آماری زمین‌لرزه‌ها می‌تواند در افزایش دانش ما درباره زمین‌لرزه و کاهش آثار مخرب آن مفید باشد. هندسه فرکتال شاخه‌ای از علم ریاضیات است. فرکتال‌ها الگوهای هندسی مانند مربع و دایره هستند که در اندازه‌های کوچک و بزرگ روی یک صفحه در فضای قرار دارند و به صورت پی‌درپی تکرار می‌شوند (مندلبرت، ۱۹۸۲).

تحلیل فرکتالی می‌تواند بیانگر نحوه توزیع متغیرها و اندازه متغیرها نسبت به کل فضای اشغال شده باشد. واژه فرکتال مشتق از واژه لاتین فراکتوس به معنای سنگی است که به شکل نامنظم شکسته و خرد شده است. در واقع در محاسبات فرکتالی، بعد اهمیت دارد نه مقیاس؛ زیرا بعد در هر اندازه‌ای حفظ می‌شود. روش‌های فرکتالی به دلایل بسیاری از جمله درنظر گرفتن توزیع مکانی داده‌ها، شکل هندسی ساختارها و همچنین استفاده از تمام داده‌ها بدون تعدیل آنها کاربرد فراوانی در مطالعات زمین‌شناسی دارد. تحلیل فرکتالی برخی عوارض و ساختارهای زمین‌شناسی می‌تواند برای تعیین پویایی زمین‌ساختی یک منطقه استفاده شود.

کمریند چین خورده رانده زاگرس یکی از فعال‌ترین کمریندهای لرزه‌خیز دنیا به شماره‌ی رود. در بخش‌های مختلف این کمریند، ویژگی‌های زمین‌شناسی، الگوی ساختاری، تاریخچه رسوب‌گذاری و نزد همگرایی متفاوتی وجود دارد که سبب می‌شود در قسمت‌های مختلف این کمریند وضعیت لرزه‌خیزی متفاوتی حاکم باشد. مطالعات زیادی درباره فرکتال و برآورد فراسنج‌های لرزه‌خیزی (a و b) در مناطق مختلف جهان و ایران انجام شده است، اما به دلیل تفاوت‌های گفته شده، لزوم بررسی در مقیاس‌های مختلف احساس می‌شود. رخداد زلزله‌های اخیر نیز می‌تواند وضعیت لرزه‌خیزی را تغییر داده باشد؛ لذا این گونه مطالعات می‌تواند در بهروزرسانی نتایج

کمک کننده باشد.

جهت برآورد فراسنج‌های لرزه‌خیزی و شناخت مهم‌ترین چشممه‌های لرزه‌زا مطالعات متعددی در ایران و جهان صورت گرفته است که از آن جمله می‌توان به پژوهش توکلی‌زاده و همکاران (۱۳۹۴)، هندرسون و همکاران (۱۹۹۴)، اونسل و ویلسون (۲۰۰۲، ۲۰۰۷) و اوژتورک (۲۰۱۲) اشاره کرد. بنا بر پژوهش یادا و همکاران (۲۰۱۲)، مقدار بعد فرکتال برای زلزله‌های نقطه‌ای و رخداده در یک نقطه صفر، برای مناطق فرورانش برابر ۱ و به صورت خطی است. این مقدار برای سطوح شکستگی صفحه‌ای، نزدیک به ۲ و برای شکستگی در حجم پوسته نزدیک به ۳ است. شولز (۲۰۱۵) رابطه‌ای بین b-value و تنش تفاضلی به دست آورده است که نشان می‌دهد با افزایش تنش تفاضلی، b-value کاهش می‌یابد و برای زمین‌لرزه‌های قاره‌ای و مناطق فرورانش، این مقدار به صورت خطی با افزایش تنش کاهش می‌یابد. فدعی و همکاران (۱۴۰۰) تاهمسانی لرزه‌ای در پهنه خوزستان را به کمک تحلیل فرکتالی و فراسنج‌های لرزه‌ای به دست آوردن و نسبت b-value به D-value را در منطقه خوزستان محاسبه و با استفاده از آن تشکیلهای را معرفی کردند.

شناخت گسل‌های لرزه‌زا و به نقشه در آوردن آنها و استفاده از بانک اطلاعات لرزه‌ای با عدم قطعیت مناسب کمک شایانی به زمین‌شناسان جهت درک خصوصیات لرزه‌ای یک منطقه خواهد کرد. در این مطالعه ابتدا فراسنج به روش حداقل مربعات مطالعه شده است. سپس در هریک از این سلول‌ها مقدار بعد فرکتال لرزه خیزی (D-value) با استفاده از روش انگرال همبستگی محاسبه شده و با استفاده از روش کریجینگ پهن‌بندی صورت گرفته است.

بعد فرکتال D با ناهمگی میدان‌های تنش و ساختارهای زمین‌شناسی از پیش موجود کنترل می‌شود (اونسل و

محدوده مطالعاتی به طور میانگین حدود ۱۱ کیلومتر گزارش شده است (هاتزفلد و همکاران، ۲۰۰۳ و ریگارد و همکاران، ۲۰۱۰). میزان همگرایی از شمال باخته به جنوب خاور افزایش می‌یابد و نرخ کوتاه‌شدگی در نزدیک گسل کازرون حدود ۸ تا ۱۰ میلی متر در سال گزارش شده است (هاتزفلد و مولینار، ۲۰۱۰). وجود لایه نمکی هرمز و سایر سطوح جدایش میانی، نقش مهمی در سبک ساختاری و توزیع زمین‌لرزه‌ها در زاگرس ایفا می‌کند (شرکتی و لنوزی، ۲۰۰۴ و کاسیلو و همکاران، ۲۰۰۹).

منطقه مورد مطالعه بخشی از پهنه لرزه‌زمین‌ساخت فارس در حد فاصل گسل‌های کازرون و پیش‌بوم بندرعباس است که در جنوب باخته ایران بین طول‌های جغرافیایی ۵۱° تا ۵۲° درجه و ۳۰° تا ۴۰° دقیقه خاوری و عرض‌های جغرافیایی ۲۷° درجه و ۲۹° درجه شمالی قرار گرفته است. زلزله ۱۳۹۲/۱/۲۰ شهر شنبه با بزرگای گشتاوری ۶/۲ (با ۳۷ نفر تلفات جانی) و زمین‌لرزه فروردین ۱۳۹۷ کاکی با بزرگای گشتاوری ۵/۹ که در نزدیکی گندبند نمکی جاشک اتفاق افتاد، از لحاظ لرزه‌خیزی توجه پژوهشگران را به منطقه مورد مطالعه جلب کرده است. زلزله‌های سیراف (۹۷/۸ و ۱۰۰/۸ میلادی) مهم‌ترین زلزله‌های تاریخی محدوده مطالعاتی هستند. در این پهنه اطلاعات سازوکار کانونی (IRIS) بیست و پنج زمین‌لرزه متوسط و بزرگ گزارش شده است که هجدۀ زمین‌لرزه از نوع راندگی و هفت زمین‌لرزه از نوع امتدادلغز است. با استفاده از تحلیل سازوکار کانونی زلزله‌ها و نرم‌افزار Win-Tensor جهت وارون‌سازی تنش، میدان تنش در منطقه مطالعاتی برآورد شده است. نتیجه نهایی تنها شامل صفحه‌هایی می‌شود که بهترین تناسب را با میدان تنش یکنواخت دارند. از شاخص رژیم تنش (R') (index regime stress) که بر اساس مقدار نسبت تنش R است، برای بیان کمی رژیم تنش استفاده می‌شود. در این روش محدوده مقادیر R' پیوسته است. مقدار R' از ۰ تا ۱ برای رژیم گسلی نرمال

همکاران، ۱۹۹۶). این روش که برای اندازه‌گیری درجه ناهمگنی فعالیت‌های لرزه‌ای به کارمی‌رود، حساسیت زیادی نسبت به تغییرات اندک در ویژگی‌های خوشبندی و تغییرات در مراکز سطحی زمین‌لرزه‌ها دارد؛ لذا برای درک بهتر لرزه‌خیزی می‌تواند مؤثر باشد. مطالعه حاضر با تهیه نقشه مقدار b و بعد فرکتال D ، به بررسی ارتباط آنها با لرزه‌زمین‌ساخت منطقه مطالعاتی پرداخته است.

در این پژوهش رومرکر زلزله‌ها از مرکز IRSC و IIEES استخراج و بعد از تصحیحات لازم در نرم‌افزار ArcGIS10.4.1 روی نقشه ارتقایی رقومی منطقه رسم شده است. در ادامه به کمک رسم نمودارها، محاسبه و مقایسه ابعاد فرکتالی زلزله‌ها، فراسنج لرزه‌خیزی b و زلزله‌های رخداده در پهنه مطالعاتی، پویایی لرزه‌زمین‌ساختی منطقه بررسی شده است.

۲ لرزه‌زمین‌ساخت محدوده مطالعاتی

پهنه زاگرس به طول ۱۶۰۰ کیلومتر و عرض حدود ۳۰۰ کیلومتر یکی از مهم‌ترین ایالت‌های زمین‌ساختی فلات ایران است. برخورد پیوسته صفحه عربی با ریزصفحه قاره‌ای ایران مرکزی از دوران زمین‌شناسی میوسن تا عصر حاضر باعث تشکیل کمربند رانده و چین‌خورده زاگرس شده است که هنوز هم لرزه‌خیز است و بیش از ۵۰ درصد زمین‌لرزه‌های ثبت شده در ایران و نزدیک به نیمی از همگرایی صفحه عربی و ایران را به خود اختصاص داده است (آگارد و همکاران، ۲۰۱۱؛ تاثار و همکاران، ۲۰۰۲ و انگدال و همکاران، ۲۰۰۶). ضخامت پوشش رسوبی در زاگرس ۱۰ تا ۱۲ کیلومتر تخمین زده می‌شود. زاگرس با زلزله‌های متوسط تا بزرگ و گسل‌های معکوس و امتدادلغز، شناخته می‌شود. مهم‌ترین گسل‌های محدوده مطالعه، گسل‌های برازجان، پیشانی کوهستان (MFF) و گسل پیش‌ژرفای زاگرس (ZFF) است. زمین‌لرزه‌ها در زاگرس کم‌ژرف‌هستند و ژرفای آنها در کل زاگرس ۸ تا ۲۰ در

محاسبه مقدار فراسنج b هستند. در روش حداقل مربعات، مقدار فراسنج b ، شبی خطی است که بر منحنی توزیع فراوانی-بزرگاً منطبق می‌شود. در روش بیشترین احتمال، مقدار این فراسنج با عکس میانگین بزرگاً متناسب است:

$$b = \frac{1}{M - M_{min}} \log e \quad (2)$$

در این مطالعه برای محاسبه فراسنج b از روش حداقل مربعات استفاده شده است. نامگذاری فراسنج b به طور مستقیم به توزیع تفاضلی تنش‌ها در پوسته زمین مرتبط است؛ یعنی نواحی با مقدار b کوچک‌کم معمولاً بعد از وقوع زمین‌لرزه اصلی تنش برشی بیشتری دارند و بخش‌هایی که مقدار b بیشتری دارند، لغزش را تجربه می‌کنند (اوتسو، ۱۹۹۹).

کل محدوده مطالعاتی به شبکه‌ای از سلول‌های 16×16 کیلومتر در نرم‌افزارهای ArcGis و Matlab تقسیم شده است (شکل ۱-ب). بعد از تصحیحات لازم و حذف پس‌لرزه‌ها و پیش‌لرزه‌ها با پنجره مکانی-زمانی ریزبرگ، در نهایت کاتالوگی شامل ۴۰۶ زمین‌لرزه از سال ۲۰۰۰ تا ۲۰۲۱ استخراج و در نرم‌افزار ArcGIS روی لایه‌های گسل و توپوگرافی ترسیم شد.

برای یکسان‌سازی بزرگ‌آها به Mw در گستره مطالعاتی از رابطه موسوی و همکاران (۱۴) استفاده شده است:

$$\begin{aligned} Mw &= 1.298 \text{ mb} - 1.349 ; 3.9 \leq \text{mb} < 6.2; \\ \sigma &= 0.2 \\ Mw &= 0.67 \text{ Ms} + 1.945 ; 3.0 \leq \text{Ms} < 6.1; \quad \sigma = 0.16 \\ Mw &= 0.94 \text{ Ms} + 0.32 ; 6.2 \leq \text{Ms} < 8.1; \\ \sigma &= 0.17 \\ Mw &= 0.922 \text{ Mn} + 0.494 ; \quad 3.0 \leq \text{Ms} < 6.4; \\ \sigma &= 0.2 \\ Mw &= 0.81 \text{ M}_L + 1.098 ; \quad 3.0 \leq \text{Ms} < 6.4 \\ \sigma &= 0.19 \end{aligned} \quad (3)$$

که σ عدم قطعیت است. بهمنظور حذف نقص ناشی از زمین‌لرزه‌های کوچک در کاتالوگ، مقدار بزرگ‌آی کامل Zmap (Mc) در محدوده مطالعاتی به کمک نرم‌افزار

(normal faulting regime) از ۱ تا ۲ برای رژیم امتدادلنز (strike-slip regime) و از ۲ تا ۳ برای رژیم گسلی راندگی (thrust faulting regime) تعریف شده است. بهترین جهت‌گیری بیشینه استرس افقی $Sh - max = N43^\circ E \pm 12/1$ و کمینه استرس افقی $Sh - min = 129^\circ = S51^\circ E$ است. شاخص رژیم منطقه $R' = 2/21 \pm 0/31$ محاسبه شده است. رژیم حاکم بر منطقه معرف یک منطقه راندگی است (شکل ۱-الف).

۳ روش پژوهش

برای بیان لرزه‌خیزی یک گستره، می‌توان از پراکندگی تعداد زمین‌لرزه‌هایی استفاده کرد که در دوره زمانی مشخصی در آن گستره لرزه‌خیز رخ می‌دهد. در این راستا فرکانس رخداد زمین‌لرزه‌ها که تابعی از بزرگ‌آ است، از عوامل ارزشمندی است که سبب توجه تعداد زیادی از زلزله‌شناسان شده است. برای تشریح این پراکندگی از رابطه فراوانی-بزرگ‌آی گوتبرگ-ریشر (گوتبرگ و ریشر، ۱۹۴۴) استفاده می‌شود. فراوانی تجمعی زمین‌لرزه (Nc) به طور خطی به بزرگ‌آی زمین‌لرزه نسبت داده می‌شود (آکی، ۱۹۸۱ و تورکات، ۱۹۸۶):

$$\log(Nc) = a - bM \quad (4)$$

مقدار a ، تعداد زمین‌لرزه‌های بزرگ‌تر از صفر را نشان می‌دهد که به مساحت محدوده مطالعاتی، اندازه چشمی لرزه‌زا و تعداد سال‌هایی بستگی دارد که داده‌های لرزه‌ای در آن محاسبه شده است. b فراسنج مهمی در بررسی لرزه‌خیزی است که برای بررسی مجموعه‌ای از زمین‌لرزه‌ها به کارمی‌رود و رابطه معکوس با تنش دارد. تنش عامل اصلی ایجاد زمین‌لرزه است؛ بنابراین می‌توان از مقدار b برای بررسی مقدار تنش استفاده کرد (شورلمر و همکاران، ۲۰۰۵).

روش‌های بیشترین احتمال و حداقل مربعات، روش‌های

مکانی زمین‌لزه‌ها مناسب است (یاداو و همکاران، ۲۰۱۲). بعد فرکتال توزیع مراکز زمین‌لزه (D ، فاصله‌بندی یا میزان خوشای بودن یک مجموعه از مراکز زمین‌لزه را اندازه‌گیری می‌کند و بیشتر زمانی از آن استفاده می‌شود که ویژگی دارای مقیاس توزیع نقاط محاسبه شود. تحلیل و محاسبه بعد همبستگی، ابزاری قوی برای محاسبه خودمشابه در پدیده‌های هندسی است (اوزتورک، ۲۰۱۲) در ادامه، با کمک روش کریجینگ، درونیابی و پهنه‌بندی با استفاده از طول و عرض جغرافیایی مرکز هر سلول صورت می‌گیرد:

$$D_C = \lim_{r \rightarrow 0} \frac{\log C(r)}{\log r} \quad (4)$$

فاصله بین رومرکر زمین‌لزه‌ها و $C(r)$ تابع همبستگی است:

$$C(r) = \frac{2}{N(N-1)} N(R < r) \quad (5)$$

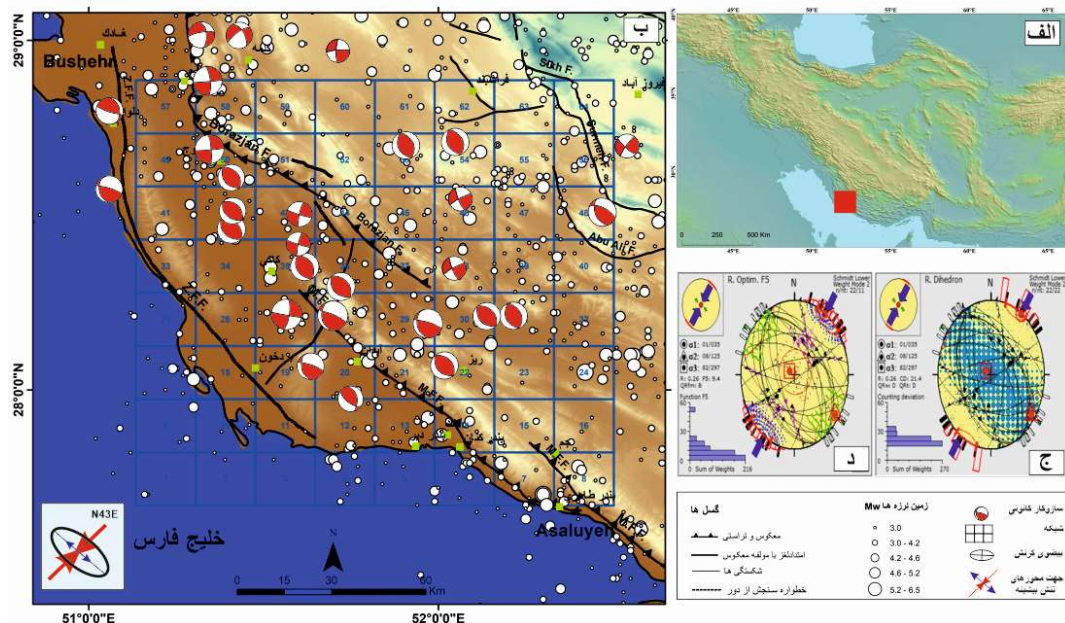
تعداد جفت‌های X_i با فاصله کمتر از r است. انتگرال همبستگی استاندارد با رابطه زیر بیان می‌شود (کیگان و نوپوف، ۱۹۸۰):

$$C(r) \sim r^{D_C} \quad (6)$$

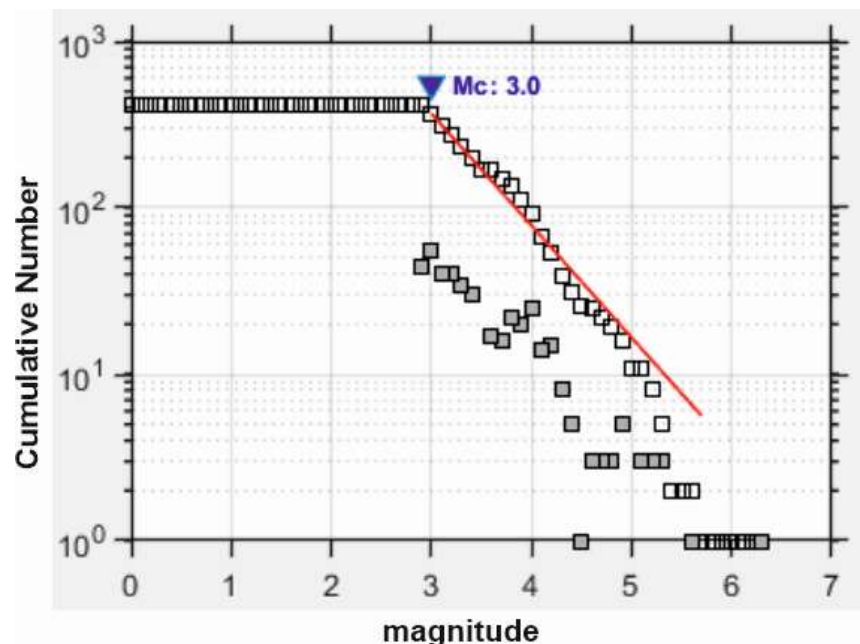
فاصله R بر حسب درجه بین دو زمین‌لزه برابر است با: $r = \cos^{-1}[(\cos \theta_1 \cos \theta_2 + \sin \theta_1 \sin \theta_2 \cos(\phi_1 - \phi_2))]$ که (θ_1, ϕ_1) و (θ_2, ϕ_2) طول و عرض مکان زلزله اول و دوم است (هیراتا، ۱۹۸۹). اگر پراکنش زلزله ساختار فرکتالی داشته باشد، $C(r) \sim r^{D_C}$ به دست می‌آید. در این رابطه D_C بعد فرکتال یا بعد همبستگی است (هندرسون و مین، ۱۹۹۲). با انتقال نقاط و رسم $C(r)$ بر حسب r روی نمودار تمام‌لگاریتمی و محاسبه شب خط رگرسیون می‌توان بعد فرکتال را محاسبه کرد (کیگان و نوپوف، ۱۹۸۰؛ هیراتا، ۱۹۸۹؛ هندرسون و مین، ۱۹۹۲ و یاداو و همکاران، ۲۰۱۱).

معادل ۳ محاسبه و برآورد فراسنج‌ها برای زلزله‌های بزرگ‌تر از آن انجام شده است (شکل ۲). بزرگ‌گای کامل از روش حداقل اتحا (maximum curvature method) محاسبه شده است. از این روش به طور گسترده‌ای استفاده می‌شود (وایمر و ویس، ۲۰۰۲). در این روش، نقطه نشان‌دهنده بیشترین اتحا در توزیع غیرتجمعی فراوانی-بزرگ، M_C در نظر گرفته می‌شود. توقف ارسال داده و دقت کاربر شبکه‌ها در ثبت زمین‌لزه‌های کوچک و وقوع زمین‌لزه‌های بزرگ تا متوسط در بازه زمانی کوتاه موجب ایجاد تغییراتی در بزرگ‌گای کامل می‌شود. این تغییر محسوس می‌تواند ناشی از خرابی دستگاه در مدت زمان محدود یا بی‌دقیقی کاربر در مکان‌یابی زمین‌لزه‌ها در این منطقه باشد. M_C کاتالوگ داده‌های استفاده شده قبل از خوش‌زدایی در بازه زمانی مورد مطالعه (۲۰۰۰-۲۰۲۱) بین ۲ تا ۲/۸ است. این تغییرات ناشی از پوشش نامناسب شبکه ثبت داده‌ها در گذشته است. بزرگ‌گای کامل برای سال‌های اولیه کاتالوگ برابر با ۲/۸ است. به مرور زمان، با افزایش تعداد ایستگاه‌ها و توانایی ثبت رخدادهای کوچک‌تر، بزرگ‌گای کامل به حدود ۲ در سال‌های پایانی کاتالوگ کاهش می‌یابد. در این مطالعه از بزرگ‌گای کامل برای کل استفاده شده است که بزرگ‌تر از بزرگ‌گای کامل برای کل داده‌ها در زمان‌های مختلف است. کاتالوگ استفاده شده در این مطالعه محدوده بزرگ‌گایی دارد که کمترین آن از بیشترین بزرگ‌گای کامل در طول زمان نیز بیشتر است؛ لذا با قطعیت خوبی می‌توان گفت که برای تحلیل، داده‌ای در کاتالوگ مورد استفاده از دست نرفته است.

اندازه طول سلول‌ها طوری انتخاب شده است که عدم قطعیت رومرکر زمین‌لزه‌ها تا حد زیادی پوشش داشته باشد و از طرفی، دقت نقطه‌های پهنه‌بندی هم زیاد باشد. مقدار بعد فرکتال D در هریک از این سلول‌های استفاده از روش انتگرال همبستگی محاسبه شده است که برای توزیع



شکل ۱. (الف) موقعیت منطقه مطالعه شده در این پژوهش در فلات ایران (ب) سازوکار زمین‌لرزه‌های منطقه مطالعاتی در جنوب زاگرس همراه با جهت‌یابی محور ییشینه تنش (ج) بهینه‌سازی چرخشی (right) rotational optimization method (د) روش دووجهی عمود بر هم (right) dihedral method.



شکل ۲. توزیع فراوانی تجمعی زمین‌لرزه‌های رخداده در گستره مطالعاتی بر حسب بزرگای و محاسبه بزرگای کامل در دوره بررسی شده.

شهرستان فراشبند و جم است. بیشترین مقدار **b** نیز مربوط به بخش‌های آبی خلیج فارس است.

نوع گسل‌ها نیز در توزیع تنش‌ها مؤثر است؛ یعنی در بخش‌هایی که گسل‌های راندگی و معکوس وجود دارد، مقدار **b** کمتری نسبت به مناطق با گسل‌های امتدادلغز و نرمال دیده می‌شود (شورلمرو همکاران، ۲۰۰۴). مناطقی همانند بخش‌های شمالی گسل MFF که تجمع تنش دارند، به دلیل مقدار **b** کمتر، پتانسیل لرزه‌زا بیشتری در آینده دارند. همان‌گونه که در شکل ۳ دیده می‌شود، در بخش‌های جنوبی‌تر گسل‌های پیش‌ژرفای زاگرس (ZFF) و MFF شواهد لرزه‌ای زیادی وجود ندارد. در این مناطق توزیع لرزه خیزی با گسل‌ها هماهنگی ندارد که می‌تواند به این دلیل باشد که در این گسل‌ها تنش به تدریج به صورت خوش آزاد می‌شود و همچنین اثری آزادشده ناشی از جابه‌جایی بلوک‌های دو سمت گسل، در محل قطعات قفل شده در مقابل گسل‌شن (آسپریتی‌ها) تجمع یافته است (آکی، ۱۹۸۴).

گسل‌ها از آسپریتی‌ها، قطعات گسلی قفل نشده و در حال خوش و همچنین قطعات حد واسطه تشکیل شده‌اند. در قطعات در حال خوش تنش زیادی آزاد می‌شود و اثری نمی‌تواند به صورت پتانسیل در گسل‌ها وجود داشته باشد، درحالی که در قطعات قفل شده این مقدار اثری ذخیره می‌شود و در زمین‌لرزه‌های اصلی آزاد می‌شود (وایمر و ویس، ۲۰۰۲). شناسایی آسپریتی‌ها به شناسایی محل‌های تجمع تنش و مناطق پر خطر منجر می‌شود. یک زمین‌لرزه بزرگ می‌تواند از اتصال یک یا تعداد بیشتری آسپریتی با اندازه‌های مختلف به هم‌دیگر رخ دهد. معمولاً آسپریتی‌های بزرگ‌تر به رخدادهای اصلی بزرگ‌تری منجر می‌شوند (اونسل و ویلسون، ۲۰۰۷).

۲-۳ برآورد مقدار **D**

بعد فرکتال، برای اندازه‌گیری کمی درجات ناهمگنی متأثر

۳ نتایج و بحث

۳-۱ برآورد مقدار **b**

مقدار **b** تنها بازتاب کننده رابطه نسبی تعداد زمین‌لرزه‌های بزرگ و کوچک در یک ناحیه نیست، بلکه به شرایط تنش در آن ناحیه بستگی دارد. شکل ۳ پهنه‌بندی فراسنج **b** را نشان می‌دهد.

بین تنش انحرافی و فراسنج **b** رابطه معکوسی وجود دارد و مقدار **b** می‌تواند به عنوان تنش‌سنجد عمل کند (اوتسو، ۱۹۹۲). در ساختارهای زمین‌ساختی مختلف، معمولاً مقدار **b** عددی نزدیک به ۱ را نشان می‌دهد، اما شکستگی‌های مختلف و همچنین گرادیان حرارتی می‌توانند مقدار آن را افزایش دهند. همچنین زیاد بودن تنش فشارشی و مؤثر می‌تواند مقدار عددی آن را کم کند (شولز، ۱۹۶۸ و ویس، ۱۹۷۳). مطالعات مختلف نشان‌دهنده تطابق مکانی زمین‌لرزه‌های اصلی و مناطقی با مقدار **b** کوچک هستند (ویمر و ویس، ۲۰۰۲). مناطقی که مقدار **b** کمتر دارند، اغلب با مناطق تحت تنش برشی بیشتر بعد از زمین‌لرزه اصلی تطابق دارند و بخش‌هایی که مقدار **b** بیشتری دارند، لغزش بیشتری دارند (بیراک و اوختورک، ۲۰۰۴). در واقع در بخش‌هایی که **b** کمتر از ۰/۷ است، احتمال گسیختگی بیشتر است و زمین‌لرزه‌های بزرگ‌تری روی می‌دهند (اونسل و ویلسون، ۲۰۰۷).

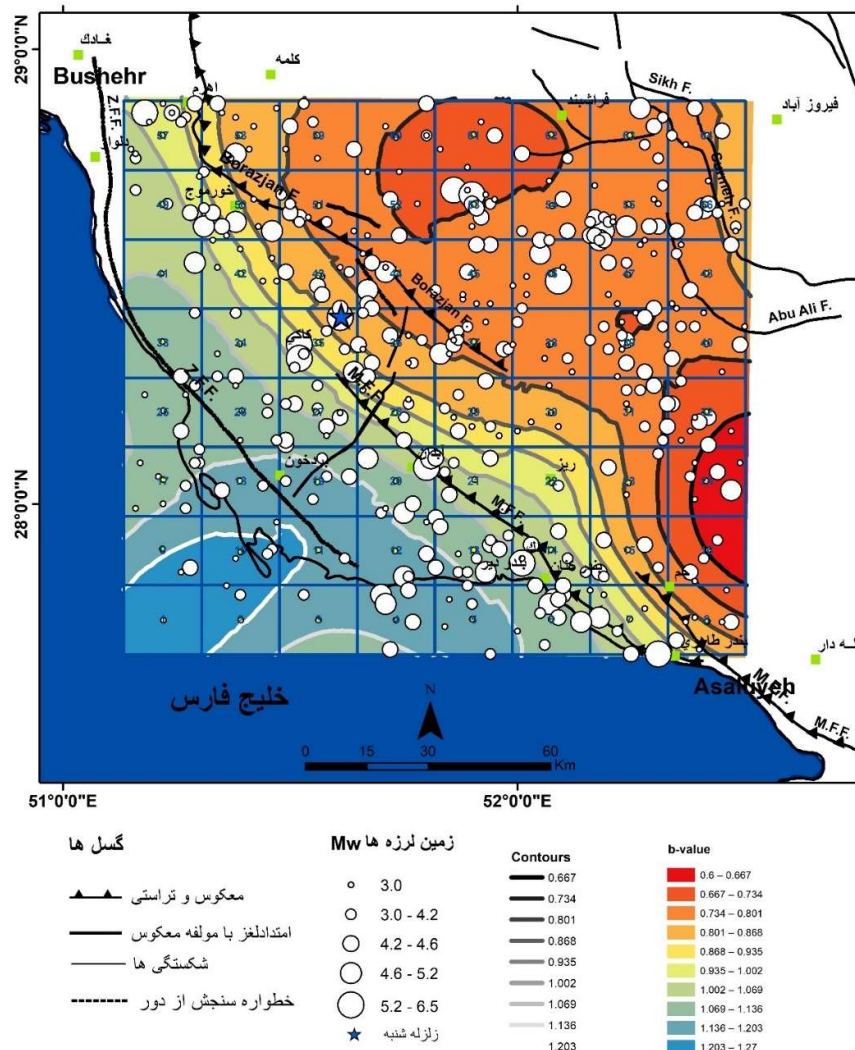
در صورت تجمع تنش در یک محدوده مقدار **b** کاهش و احتمال رخداد زلزله افزایش می‌یابد. با توجه به شکل ۳، این مقدار در بخش‌های شمال خاور محدوده مطالعاتی و در راستای حرکت صفحه عربی کاهش می‌یابد. این محدوده بر زاگرس ساده- چین خورده منطبق است. همان‌گونه که دیده می‌شود، بخش‌های شمال خاوری عدد کمتری رانشان می‌دهند که منطبق بر زاگرس ساده- چین خورده و رمپ شمالی گسل پیشانی کوهستان (MFF) و گسل برازجان است. کمترین مقدارها مربوط به رمپ فعال گسل MFF در محدوده شهرستان خورموج و همچنین بخش‌هایی از

در حجمی از پوسته شکستگی ناشی از زمین‌لرزه وجود دارد (روی و همکاران، ۲۰۱۱ و یاداو و همکاران، ۲۰۱۲).

شکل ۴ یکی از نمودارهای لگاریتمی- لگاریتمی تابع همبستگی ($C(r)$) را بر حسب فاصله نشان می‌دهد. از روی شبی خط برآش مقدار بعد فرکتال D به دست می‌آید. شکل ۵ پهنه‌بندی بعد فرکتالی به روش کریجینگ را در افزونه زمین‌آمار نرم‌افزار ArcGIS نشان می‌دهد.

از تنش و هندسه گسل‌ها استفاده می‌شود. توزیع خوش‌های رومکز زمین‌لرزه‌ها باعث کاهش بعد فرکتال خواهد شد (وانسل و ویلسون، ۲۰۰۲).

اگر تمامی زمین‌لرزه‌ها در یک نقطه رخ داده باشند، مقدار D ممکن است در آن محدوده نزدیک به صفر باشد. مقادیر نزدیک به ۱ نشان‌دهنده توزیع خطی نظر پهنه‌های فرورانش هستند و مقادیر نزدیک به ۲ سطوح شکستگی صفحه‌ای را نشان می‌دهند. مقادیر نزدیک به ۳ نشان می‌دهد



شکل ۳. نقشه تغییرات b -value در محدوده مطالعاتی به همراه رومکز زمین‌لرزه‌ها و گسل‌های فعال.

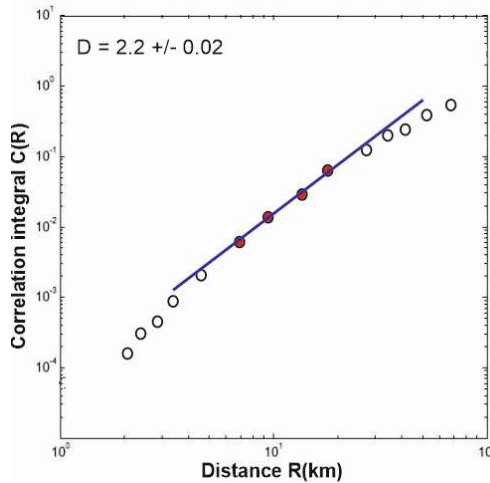
b و بعد فرکتال D رابطه رگرسیون مرتبه یک زیر

به دست آمده است (شکل ۶):

$$R \cdot b = 0.78 - 3/30 = D$$

مقادیر کم **b** و مقادیر زیاد D، تنشگاهها و مناطق با خطر زیاد زمین‌لرزه را در آینده نشان می‌دهند و بر عکس، مقادیر زیاد **b** و مقادیر کم D، مناطق خوش گسل‌ها را نشان می‌دهند؛ بنابراین نسبت D-value/b-value می‌تواند معیار خوبی جهت برآورد خطر زمین‌لرزه در آینده باشد. در منطقه مطالعاتی، ضریب همبستگی منفی در پاسخ به افزایش تمرکز تنش (b) و کاهش خوش‌های شدن (D) لرزه‌خیزی بیشتر، رومرکزها ایجاد شده است. دلیل این رابطه، تراکم بیشتر گسل‌شن در مناطقی است که D بیشتر است. از آنجاکه مقادیر زیاد **b** و مقادیر کم D، نواحی خوش گسل‌ها و بر عکس، مقادیر کم **b** و مقادیر زیاد D، تنشگاهها و نواحی‌ای را نشان می‌دهد که ممکن است در آینده زمین‌لرزه بزرگی داشته باشد؛ لذا نسبت این فراسنچ‌ها می‌تواند معیار خوبی جهت برآورد خطر زمین‌لرزه در آینده باشد. در حالت کلی، مقدار **b** به رژیم تنش و ناهمگنی پوسته بستگی دارد، درحالی که بعد فرکتالی رومرکرها، اندازه تغییر شکل پوسته و درجه تراکم زمین‌لرزه‌های گسترده را در مکان و زمان نشان می‌دهد. وجود آسپریتی‌ها در طول گسل نیز می‌تواند باعث زیادتر بودن D و کمتر بودن **b** شود (اوزتورک، ۲۰۱۲).

ارتباط مثبت و منفی فراسنچ‌های **b** و D در داده‌های زمین‌لرزه‌های طبیعی (اونسل و همکاران، ۱۹۹۵)، مدل‌های آزمایشگاهی (والنت و گراسو، ۱۹۹۴) و مدل‌های فیزیکی (هندرسون و مین، ۱۹۹۲) بررسی شده است. از عوامل مؤثر احتمالی در ارتباط منفی آنها می‌توان به غیریکنواخت بودن فهرست داده‌ها، تغییر در دقت تعیین محل دقیق زمین‌لرزه‌ها و تغییرات آرایش دستگاهی اشاره کرد. هیراتا (۱۹۸۹) بعد همبستگی میان فرکتال و مقدار **b** را محاسبه کرد و برای زلزله‌های ۱۹۲۶ تا ۱۹۸۶ رابطه $D = 2/23 - 0.73b$



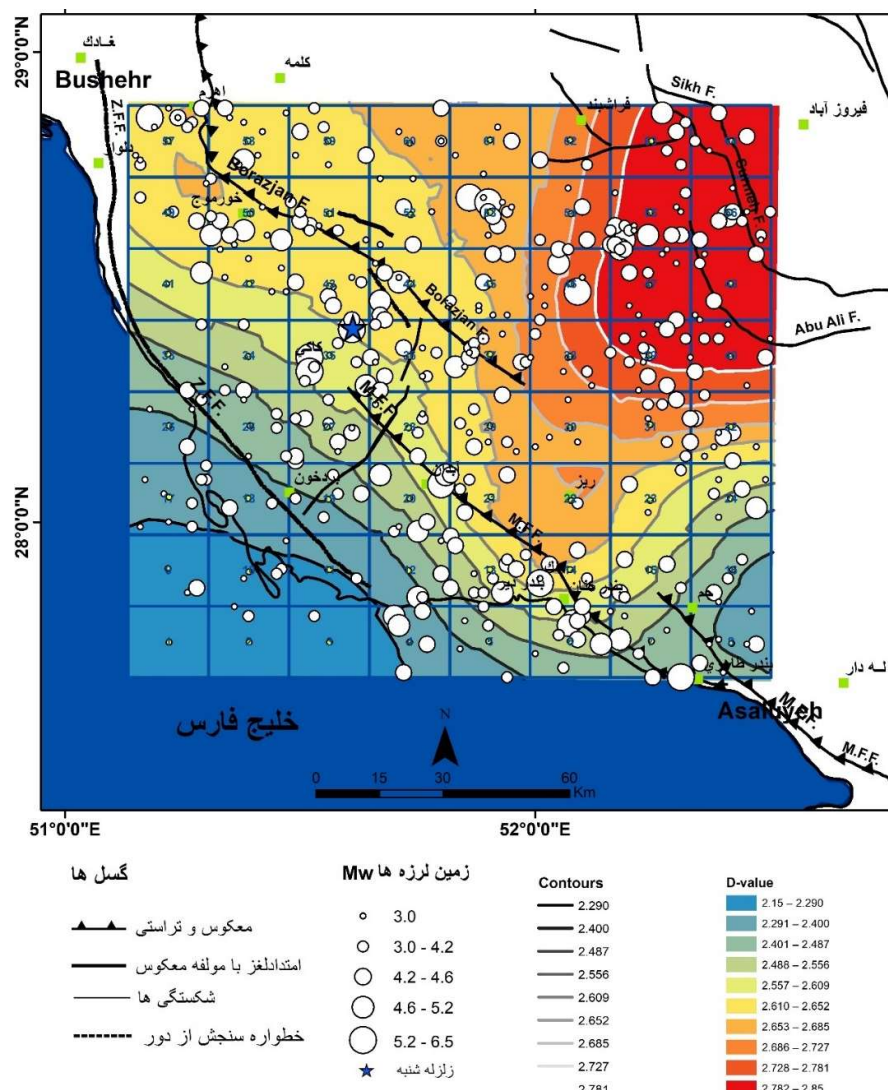
شکل ۶. نمودار لگاریتمی- لگاریتمی تابع همبستگی (r) بر حسب فاصله در یکی از پهنه‌های مطالعه شده.

۳-۳ فراسنچ لرزه‌خیزی و D-value/b-value و تعیین روابط همبستگی

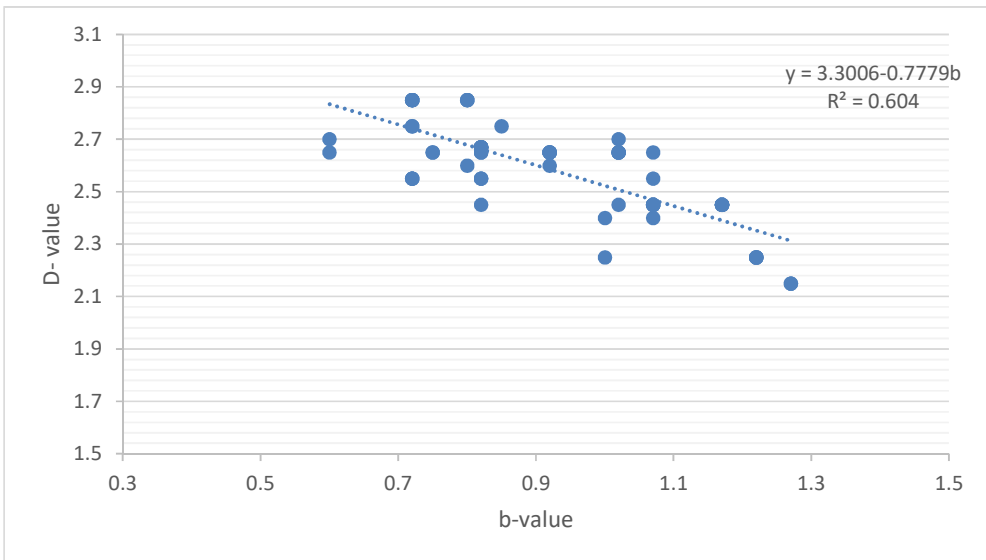
به نظر می‌رسد رخداد همبستگی مثبت یا منفی با حالت‌های مختلف شکست درون مجموعه‌های فعال گسلی کنترل می‌شود (اونسل و همکاران، ۲۰۰۱). روابط منفی با کاهش **b** و افزایش هم‌زمان D همراه است. کاهش **b** نشان‌دهنده افزایش احتمال وقوع زمین‌لرزه است. افزایش D به معنای احتمال وجود شبکه‌های گسلی پیچیده‌تر و متراکم است. دلیل این رخداد، تراکم بیشتر گسل‌شن در مناطق با D زیاد است (اونسل و همکاران، ۲۰۰۱). جدول ۱ نتایج محاسبات را در سلوول‌های مختلف نشان می‌دهد. بخش‌هایی که مقدار **b** کمتر دارند، اغلب تنش برشی بیشتری را بعد از زلزله اصلی تجربه کرده‌اند و بخش‌هایی که مقدار **b** بیشتری دارند، مناطقی هستند که لغزش را تجربه می‌کنند (بیراک و اوزتورک، ۲۰۰۴). ارتباط بین D و **b**، حاوی اطلاعات مفیدی درباره لرزه‌زمین ساخت منطقه مطالعاتی است (بیراک و بیراک، ۲۰۱۲). در این پژوهش برای محاسبه بعد همبستگی در سلوول‌ها با استفاده از فراسنچ

به دست آورند. در بخشی دیگر از منطقه، این ضربه $+0.11$ محسوبه شد. ایشان رابطه منفی را بر اساس شکستگی‌های خشک تفسیر کردند و همبستگی مثبت را ناشی از اثر جریان سیال در منطقه گسلی دانستند. اونسل و همکاران (۱۹۹۶) با بررسی بازه زمانی $1992-1900$ در آناتولی شمالی، بین مقدار b و D همبستگی منفی به دست آورند و نشان دادند تنش در زمان وقوع زمین‌لرزه‌های بزرگ‌تر با تکرار کم آزاد می‌شود.

را با تابع رگرسیون مرتبه اول بین این دو فراسنج به دست آورد. هندرسون و مین (۱۹۹۲) زلزله‌های $1990-1977$ کالیفرنیا را بررسی کردند و نشان دادند بعد فرکتال با افزایش تنش افزایش می‌یابد و شکستگی‌ها فضای را دربر گرفته‌اند. در آن مطالعه، مقدار b همبستگی منفی با بعد فرکتال داشت. با کاهش بزرگ‌گای زمین‌لرزه‌ها (کاهش b) رهاسازی تنش به صورت فزاینده‌ای پراکنده (D زیاد) می‌شود. هندرسون و همکاران (۱۹۹۴) مقدار ضربه همبستگی را در زمین‌لرزه‌ای بزریل -0.54 به دست آورند.



شکل ۵. نقشه تغییرات بعد فرکتال لرزه‌خیزی D در جنوب زاگرس به همراه رومکز زمین‌لرزه‌ها و گسل‌های فعال.

شکل ۶. ارتباط بین فراسنج لرزه خیزی **b** و بعد فرکتال لرزه خیزی **D** در محدوده مطالعاتی.

لرزه‌ای و زمین ساختی و به سطح نرسیدن گسل‌ها باعث شده است که علاوه بر تغییرات مقدار **b**، بعد فرکتال رومرکر زمین لرزه‌ها نیز متأثر شود. مطالعات مختلف (اوگاتا و همکاران، ۱۹۹۱؛ وایمر و ویس ۱۹۹۷؛ چن و همکاران، ۲۰۰۶ و اوژتورک و ساری، ۲۰۱۵) نشان می‌دهد رابطه بین مقدار **b** و بعد فرکتال رومرکر زمین لرزه‌ها می‌تواند در مقیاس‌های کوچک و محلی تغییر کند و در مناطق یا زمان‌هایی مثبت یا منفی یا کم برآورد شود.

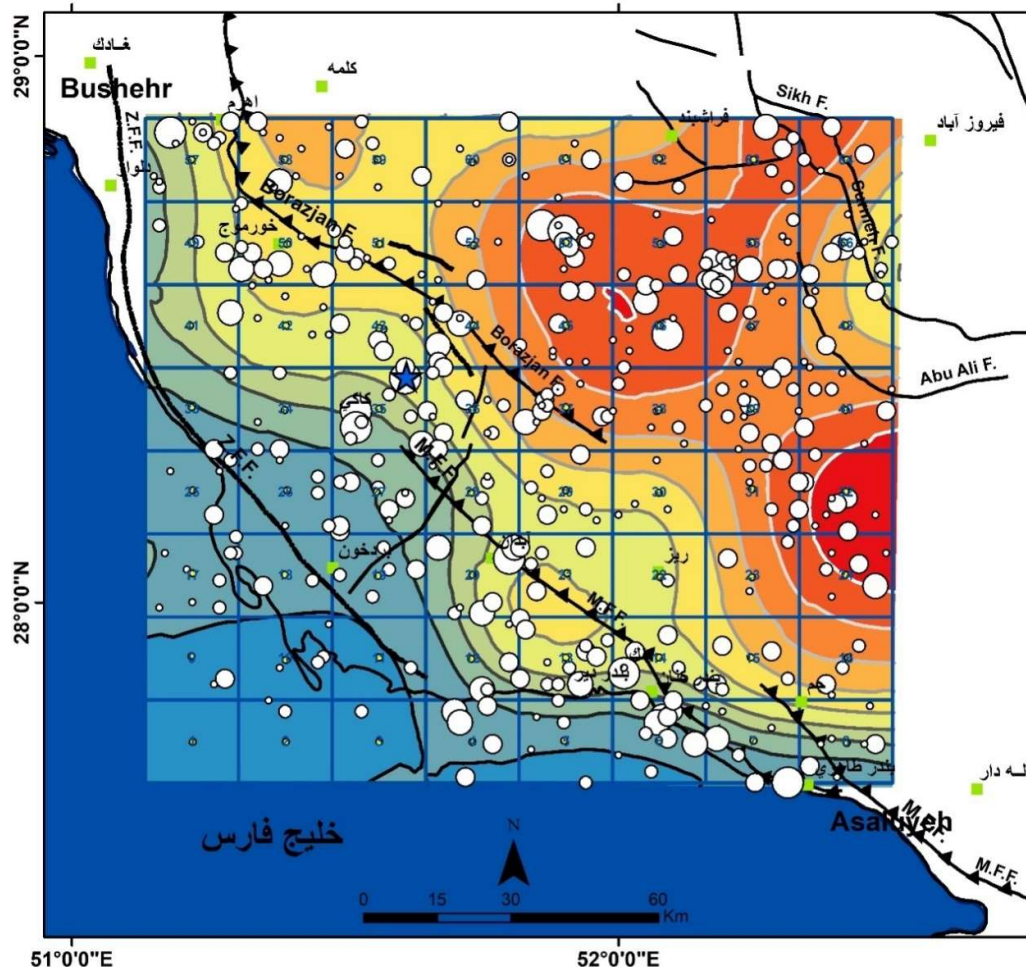
همبستگی منفی می‌تواند نشان‌دهنده افزایش میزان احتمال رخداد زمین لرزه‌های بزرگ روی گسل‌هایی با مساحت زیاد باشد. همبستگی مثبت نیز می‌تواند حاکی از کاهش احتمال وقوع زلزله‌های بزرگ در پاسخ به قطعه قطعه شدن منطقه گسلی یا آزاد شدن تنش شاخه‌های فرعی سامانه‌های گسلی بعد از گسیختگی اصلی باشد (مندال و راستوگی، ۲۰۰۵). نسبت بعد فرکتال **D** به ضریب لرزه خیزی **b**، محل بیشینه تنشگاه‌ها را نشان می‌دهد. همان‌گونه که در شکل ۷ نشان داده شده است، بخش‌های شمال خاوری منطقه مطالعاتی منطبق بر گسل‌های سورمه و جنوب فراشبند و پایانه‌های گسل برازجان در زاگرس

کومار و همکاران (۲۰۱۳) به بررسی اثر سد کوپیا در هندوستان پرداختند و رابطه منفی بین **b** و **D** به دست آورdenد. اوژتورک و ساری (۲۰۱۵) در منطقه گسلی آناتولی شمالی، فعالیت‌های لرزه‌ای را بررسی و تغییرات **b** و **D** را مطالعه کردند و پتانسیل لرزه‌زایی را به دست آورdenد. ایشان بعد فرکتال را نشان‌دهنده میزان غیریکنواخت بودن فعالیت‌های لرزه‌ای در سامانه گسل فعلی و تفاوت‌های ساختاری دانستند.

شکل ۷ پهنه‌بندی نسبت فراسنج **b** به **D** را نشان می‌دهد. همان‌گونه که دیده می‌شود، بخش‌های شمال خاوری عدد کوچک‌تری را نشان می‌دهند. ضریب همبستگی (*r*) حدود ۰-۷۸ است. رابطه بین این دو پارامتر در منطقه، منفی اما کوچک است. این همبستگی کم را می‌توان با نحوه لرزه خیزی در منطقه مرتبط دانست که در برخی نقاط با تجمع تنش (به خصوص در بخش‌های شمالی گسل (MFF) و سطح تنش متفاوت همراه است. در این منطقه تجمع بیشتر گسل‌ها در زاگرس ساده-چین خورده به نسبت زاگرس ساحلی و رژیم زمین ساختی فشارشی حاکم که تحت تأثیر حرکات صفحه عربی است، در کنار ناهمگنی فعالیت‌های

MFF موجود است. به طور کلی زاگرس ساده-چین خورده نسبت به بخش ساحلی زاگرس میزان فرکتال بیشتری را نشان می‌دهد.

ساده-چین خورده چنین شرایطی را داردند. دو ناهنجاری عمده در پهنه‌بندی بعد فرکتال یکی در شمال باخته محدوده مطالعاتی و مربوط به گسل کازرون و دیگری در شمال خاوری و مربوط به رمپ فعال گسل



گسل ها	زمین لرزه ها	Contours	D-value/b-value
معکوس و تراستی	○ 3.0	— 2.116	1.758 - 2.116
امتدالغز با مؤلفه معکوس	○ 3.0 - 4.2	— 2.441	2.117 - 2.441
شکستگی ها	○ 4.2 - 4.6	— 2.735	2.442 - 2.735
خطواره سنگش از دور	○ 4.6 - 5.2	— 3.001	2.736 - 3.001
	○ 5.2 - 6.5	— 3.241	3.002 - 3.241
	★ زلزله شنبه	— 3.458	3.242 - 3.458
		— 3.699	3.459 - 3.6999
		— 3.965	3.700 - 3.965
		— 4.258	3.966 - 4.258
		— 4.258	4.259 - 4.583

شکل ۷. نقشه توزیع نسبت بعد فرکتال به مقدار b (D-value/b-value) و رومبرکر زمین لرزه‌ها در منطقه مطالعاتی.

جدول ۱. نتایج محاسبات در هریک از ۶۴ سلول. ستون‌های جدول شامل شماره سلول، موقعیت جغرافیایی مرکز هر سلول، مقدار **b**، مقدار فرکتال لزه خیزی **D**، نسبت دو فراستچ و بزرگ‌ترین زلزله رخداده در هر سلول است.

شماره سلول	طول جغرافیایی	عرض جغرافیایی	b-value	D-value	D – value/b – value	بزرگ‌ترین زلزله
۱	۵۱/۲۲	۲۷/۷۴	۱/۲۷	۲/۱۵	۱/۷۶	۴/۳
۲	۵۱/۳۹	۲۷/۷۴	۱/۲۷	۲/۱۵	۱/۷۶	۳/۱
۳	۵۱/۵۶	۲۷/۷۴	۱	۲/۲۵	۲/۱۰	۳/۱
۴	۵۱/۷۳	۲۷/۷۴	۱/۲۲	۲/۲۵	۲/۱۸	۴/۹
۵	۵۱/۹۰	۲۷/۷۵	۱/۱۷	۲/۴۵	۲/۱۰	۳/۳
۶	۵۲/۰۷	۲۷/۷۵	۱/۰۷	۲/۴۵	۲/۲۴	۴/۸
۷	۵۲/۲۵	۲۷/۷۵	۱/۰۲	۲/۴۵	۲/۴۸	۵/۱
۸	۵۲/۴۲	۲۷/۷۴	۰/۸۲	۲/۴۵	۲/۶۴	۳/۸
۹	۵۱/۲۲	۲۷/۹۰	۱/۲۲	۲/۲۵	۱/۹۲	۳/۸
۱۰	۵۱/۳۹	۲۷/۸۹	۱/۲۲	۲/۲۵	۱/۹۲	۳/۳
۱۱	۵۱/۵۶	۲۷/۹۰	۱/۲۲	۲/۲۵	۱/۹۲	۳/۲
۱۲	۵۱/۷۳	۲۷/۹۰	۱/۱۷	۲/۴۵	۲/۸۲	۴/۹
۱۳	۵۱/۹۰	۲۷/۹۰	۱/۰۷	۲/۶۵	۳/۳۱	۴/۲
۱۴	۵۲/۰۷	۲۷/۹۰	۱/۰۲	۲/۶۵	۲/۹۴	۵/۲
۱۵	۵۲/۲۴	۲۷/۹۰	۰/۹۲	۲/۶۵	۳/۵۳	۴/۱
۱۶	۵۲/۴۲	۲۷/۹۰	۰/۶	۲/۲۵	۳/۷۵	۳/۹
۱۷	۵۱/۲۲	۲۸/۰۵	۱	۲/۲۵	۲/۵۰	۳/۶
۱۸	۵۱/۳۹	۲۸/۰۵	۱/۱۷	۲/۴۵	۲/۳۲	۴/۲
۱۹	۵۱/۵۶	۲۸/۰۵	۱/۱۷	۲/۴۵	۲/۸۴	۴/۲
۲۰	۵۱/۷۳	۲۸/۰۵	۱/۰۷	۲/۴	۲/۸۲	۴/۷
۲۱	۵۱/۹۱	۲۸/۰۵	۱/۰۲	۲/۶۵	۳/۳۱	۴
۲۲	۵۲/۰۸	۲۸/۰۵	۰/۹۲	۲/۶۵	۳/۱۲	۳/۲
۲۳	۵۲/۲۴	۲۸/۰۵	۰/۸۲	۲/۶۵	۳/۶۷	۳/۸
۲۴	۵۲/۴۲	۲۸/۰۵	۰/۶	۲/۶۵	۴/۱۷	۴/۴
۲۵	۵۱/۲۲	۲۸/۲۰	۱/۱۷	۲/۴۵	۲/۲۰	۴/۱
۲۶	۵۱/۳۹	۲۸/۲۰	۱/۰۷	۲/۴۵	۲/۳۲	۳/۶
۲۷	۵۱/۵۶	۲۸/۲۰	۱/۰۷	۲/۴۵	۲/۳۲	۴/۱
۲۸	۵۱/۷۳	۲۸/۲۰	۰/۹۲	۲/۶۵	۲/۹۹	۳/۷
۲۹	۵۱/۹۰	۲۸/۲۰	۰/۹۲	۲/۶۵	۳/۲۴	۴
۳۰	۵۲/۰۷	۲۸/۲۰	۰/۸۵	۲/۷۵	۳/۲۴	۳/۱
۳۱	۵۲/۲۴	۲۸/۲۱	۰/۸۲	۲/۵۵	۳/۹۳	۴/۲
۳۲	۵۲/۴۲	۲۸/۲۰	۰/۷۲	۲/۶۵	۴/۵۸	۴

۳۳	۵۱/۲۲	۲۸/۳۶	۱/۰۷	۲/۴۵	۲/۳۹	۴/۱
۳۴	۵۱/۳۹	۲۸/۳۵	۱/۰۷	۲/۴۵	۲/۷۱	۴
۳۵	۵۱/۵۶	۲۸/۳۵	۰/۹۲	۲/۶	۲/۸۹	۶/۳
۳۶	۵۱/۷۳	۲۸/۳۵	۰/۸۲	۲/۶۵	۳/۲۵	۴/۲
۳۷	۵۱/۹۰	۲۸/۳۶	۰/۷۲	۲/۵۵	۳/۹۳	۴/۱
۳۸	۵۲/۰۷	۲۸/۳۵	۰/۷۲	۲/۷۵	۳/۹۳	۳/۶
۳۹	۵۲/۲۴	۲۸/۳۵	۰/۷۲	۲/۸۵	۳/۷۳	۴
۴۰	۵۲/۴۲	۲۸/۳۵	۰/۷۲	۲/۸۵	۳/۹۳	۳/۸
۴۱	۵۱/۲۲	۲۸/۵۱	۱/۰۷	۲/۵۵	۳/۰۰	۴/۷
۴۲	۵۱/۳۹	۲۸/۵۱	۱/۰۲	۲/۷	۳/۱۸	۳/۱
۴۳	۵۱/۵۶	۲۸/۵۰	۰/۸	۲/۶	۳/۲۵	۴/۲
۴۴	۵۱/۷۴	۲۸/۵۱	۰/۷۵	۲/۶۵	۳/۴۷	۴/۹
۴۵	۵۱/۹۰	۲۸/۵۱	۰/۸۲	۲/۶۷	۴/۰۰	۴/۲
۴۶	۵۲/۰۸	۲۸/۵۱	۰/۸۲	۲/۷۵	۴/۲۳	۴/۶
۴۷	۵۲/۲۴	۲۸/۵۰	۰/۷۲	۲/۸۵	۴/۰۰	۴/۳
۴۸	۵۲/۴۲	۲۸/۵۱	۰/۸	۲/۸۵	۳/۵۰	۴/۲
۴۹	۵۱/۲۲	۲۸/۶۶	۱/۰۲	۲/۶۵	۲/۸۴	۳/۹
۵۰	۵۱/۳۹	۲۸/۶۶	۰/۹۲	۲/۶۵	۳/۴۴	۴/۹
۵۱	۵۱/۵۶	۲۸/۶۶	۰/۷۲	۲/۵۵	۳/۱۹	۳/۸
۵۲	۵۱/۷۴	۲۸/۶۵	۰/۸۲	۲/۶۷	۳/۷۱	۳/۷
۵۳	۵۱/۹۰	۲۸/۶۶	۰/۶۲	۲/۶۷	۴/۳۳	۵/۳
۵۴	۵۲/۰۸	۲۸/۶۶	۰/۸۲	۲/۶۷	۴/۰۰	۴/۱
۵۵	۵۲/۲۴	۲۸/۶۶	۰/۷۲	۲/۸۵	۴/۰۰	۴/۳
۵۶	۵۲/۴۱	۲۸/۶۶	۰/۸	۲/۸۵	۳/۵۰	۴/۴
۵۷	۵۱/۲۲	۲۸/۸۱	۱/۰۲	۲/۶۵	۳/۰۶	۵/۱
۵۸	۵۱/۳۹	۲۸/۸۱	۰/۸۲	۲/۶۵	۳/۴۴	۴/۶
۵۹	۵۱/۵۶	۲۸/۸۱	۰/۷۵	۲/۶۵	۳/۵۳	۳/۹
۶۰	۵۱/۷۳	۲۸/۸۱	۰/۸۲	۲/۶۷	۳/۲۹	۴/۲
۶۱	۵۱/۹۰	۲۸/۸۱	۰/۶۲	۲/۶۷	۳/۸۳	۴/۱
۶۲	۵۲/۰۷	۲۸/۸۱	۰/۸۲	۲/۶۷	۳/۵۴	۴/۱
۶۳	۵۲/۲۵	۲۸/۸۱	۰/۷۲	۲/۸۵	۴/۱۵	۴/۳
۶۴	۵۲/۴۲	۲۸/۸۱	۰/۸	۲/۸۵	۳/۸۹	۳/۹

۴ نتیجه‌گیری

برای بررسی پویایی منطقه جنوب زاگرس، بعد فراسنج D و b و نسبت بین آنها محاسبه شده است. با اعمال تنش از طرف صفحه عربی طی دگرشكلي پیشونده در زاگرس، بخش‌های زاگرس مرتفع در گیر تغییر شکل‌های فعالی در تاریخ زمین‌شناسی خود بوده است. این موضوع با گذشت

- precursory phenomena, in Simpson, D. W., and Richards, P. G., eds., *Earthquake Prediction: An International Review*: Americal Geophysical Union, Washington DC, 4, 566-574.
- Aki, K., 1984, Asperities, barriers, characteristic earthquakes and strong motion prediction: *Journal of Geophysical Research*, **89**, 5867-5872.
- Bayrak, Y., and Bayrak, E., 2012, Regional variations and correlations of Gutenberg-Richter parameters and fractal dimension for the different seismogenic zones in Western Anatolia: *Journal of Asian Earth Sciences*, **58**, 98-107.
- Bayrak, Y., and Öztürk, S., 2004, Spatial and temporal variations of the aftershock sequence of the 1999 Izmit and Duzce earthquake: *Earth, Planets and Space*, **56**, 933-944.
- Casciello, E., Verges, J., Saura, E., Casini, G., Ferna Ndez, N., Blanc, E., Homke, S., and Hunt, D. W., 2009, Fold patterns and multilayer rheology of the Lurestan Province, Zagros Simply Folded Belt (Iran): *Journal of the Geological Society, London*, **166**, 947-959.
- Chen, C. C., Wang, W. C., Chang, Y., Wu, Y., and Lee, Y., 2006, A correlation between the b-value and the fractal dimension from the aftershock sequence of the 1999 Chi-Chi, Taiwan, earthquake: *Geophysical Journal International*, **167**, 1215-1219.
- Engdahl, E. R., Jackson, J. A., Myers, S. C., Bergman, E. A., and Priestley, K., 2006, Relocation and assessment of seismicity in the Iran region: *Geophysical Journal International*, **167**, 761-778.
- Gulia, L., and Wiemer, S., 2010, The influence of tectonic regimes on the زمان ادامه داشته و در قالب دگرشکلی‌های داخلی و رخداد زمین‌لرزه خود را نشان داده است. از پهنگندی مرکز سطحی زلزله‌های رخداده در منطقه مطالعاتی نیز این نتیجه حاصل می‌شود که بخش‌های شمال خاوری از فعالیت لرزه‌خیزی بیشتری برخوردارند.
- همان‌گونه که در نقشه‌ها دیده می‌شود، همخوانی به نسبت زیادی بین بعد فرکتال لرزه‌خیزی و گسل‌ها وجود دارد. در زاگرس، به سطح نرسیدن گسل‌ها، ناهمگن بودن سازوکار گسل‌ها، منطبق نبودن پراکندگی سطحی زمین‌لرزه‌ها با گسل‌های موجود، صرف انرژی زیاد در چین‌خوردگی‌ها، کرنش داخلی و تفاوت در سبک ساختاری بخش‌های مختلف منطقه مورد مطالعه موجب شده است تفاوت‌هایی در میزان بعد فرکتالی لرزه‌خیزی و گسل‌ها وجود داشته باشد. با توجه به نقشه‌های پهنگندی شده و تشخیص تنشگاه‌ها در منطقه مطالعاتی، شهرهای فراشبند و فیروزآباد در استان فارس و شهرهای جم، شنبه، ریز و در مراحل بعدی خورموج به همراه آبادی‌های اطرافشان اصلی‌ترین مناطق مستعد برای زمین‌لرزه‌های آتی معرفی می‌شوند.
- ### منابع
- توکلی‌زاده، ن.، رحیمی، ب.، قائمی، ف.، ۱۳۹۴، بررسی لرزه‌زمین‌ساخت و تنشگاه‌ها در زاگرس با استفاده از پارامتر لرزه‌ای **b-value**: سی و چهارمین گردهمایی و دومین کنگره بین‌المللی علوم زمین.
- فدعی، م.، زارعی، س.، اشکپور مطلق، ش.، ۱۴۰۰، بررسی ناهمسانی لرزه‌ای پنهان خوزستان در جنوب باختیری زاگرس به کمک تحلیل فرکتالی: فصلنامه علوم و مهندسی زلزله، **۸**(۳)، ۱-۱۶.
- Agard, P., Omradi, J., Jolivet, L., et al., 2011, Zagros orogeny: a subduction-dominated process: *Geology Magazine*, 1-34.
- Aki, K., 1981, A probabilistic synthesis of earthquake size distribution: A case

- study for Italy: *Geophysical Research Letters*, **37**, 1–6.
- Gutenberg, B., and Richter, C. F., 1944, Frequency of earthquakes in California: *Bulletin of the Seismology Society of America*, **34**, 185-188.
- Hatzfeld, D. and Molnar, P., 2010, Comparisons of the kinematics and deep structures of the Zagros and Himalaya and of the Iranian and Tibetan plateaus and geodynamic implications: *Review of Geophysics*, **48**, 48.
- Hatzfeld, D., Tatar, M., Priestley, K. and Ghafory-Ashtiany, M., 2003, Seismological constraints on the crustal structure beneath the Zagros Mountain belt (Iran): *Geophys. J. Int.*, **155**, 403-410.
- Henderson, J., and Main, I., 1992, A simple fracture mechanical model for the evolution of seismicity: *Geophysical Research Letters*, **19**, 365-368.
- Henderson, J., Main, I. G., Pearce, R. G., and Takeya, M., 1994, Seismicity in north-eastern Brazil: fractal clustering and the evolution of the b-value: *Geophysical Journal International*, **116**, 217-226.
- Hirata, T., 1989, A correlation between the b-value and the fractal dimension of earthquakes: *Journal of Geophysical Research: Solid Earth*, **94**, 7507-7514.
- Kagan, Y., and Knopoff, L., 1980, Spatial distribution of earthquakes: the two-point correlation function: *Geophysical Journal International*, **62**, 303-320.
- Kumar, A., Rai, S. S., Joshi, A., Mittal, H., Sachdeva, R., Kumar, R., and Ghangas, V., 2013, The b-value and fractal dimension of local seismicity around Koyna Dam (India): *Earthquake Science*, **26**, 99-105.
- Mandal, P., and Rastogi, B. K., 2005, Self-organized fractal seismicity and b-value of aftershocks of the 2001 Bhuj earthquake in Kutch (India): *Pure and Applied Geophysics*, **162**, 53-72.
- Mandelbrot, B. B., 1982, *The Fractal Geometry of Nature*: W. H. Freeman, New York, 468p.
- Mousavi, S. H., Mirzaei, N., and Shabani, E., 2014, A declustered earthquake catalog for the Iranian plateau: *Annals of Geophysics*, **57**, 1-25.
- Ogata, Y., Imoto, M., and Katsura, K., 1991, 3-D spatial variation of b-values of magnitude-frequency distribution beneath the Kanto District, Japan: *Geophysical Journal International*, **104**, 135-146.
- Öncel, A. O., Main, I., Alptekin, Ö., and Cowie, P., 1996, Temporal variations in the fractal properties of seismicity in the north Anatolian fault zone between 31E and 41E: *Pure and Applied Geophysics*, **147**, 147-159.
- Öncel, A. O., Wilson, T. H., and Nishizawa, O., 2001, Size scaling relationships in the active fault networks of Japan and their correlation with Gutenberg-Richter b-values: *Journal of Geophysical Research*, **106**, 21827-21841.
- Öncel, A. O., and Wilson, T. H., 2002, Space-time correlations of seismotectonic parameters: Examples from Japan and from Turkey preceding the Izmit earthquake: *Bulletin of the Seismological Society of America*, **92**, 339-349.
- Öncel, A. O., and Wilson, T., 2007, Anomalous seismicity preceding the 1999 Izmit event, NW Turkey: *Geophysical Journal International*, **169**, 259-270.
- Öncel, A. O., Yuksel, F. A., Alptekin, O., Main, I., Khalili, A., 1995, A Preliminary Fractal Analysis of Faulting in the Zagros Thrust Belt: Second International Conference on

- Seismology and Earthquake Engineering, 149-156.
- Öztürk, S., 2012, Statistical correlation between b-value and fractal dimension regarding Turkish epicenter distribution: Earth Sciences Research Journal, **16**, 103-108.
- Öztürk, S., and Sari, M., 2015, Spatial variations of seismotectonic b and Dc-values in and around the East Anatolian Fault Zone (EAFZ), Turkey: 8th Congress of the Balkan Geophysical Society.
- Regard, V., Hatzfeld, D., Molinaro, M., Aubourg, C., Bayer, R., Bellier, O., YaminiFard, F., Peyret, M. and Abbassi, M., 2010, The transition between Makran subduction and the Zagros collision: recent advances in its structure and active deformation, tectonic and Stratigraphic evolution of Zagros and Makran during the Mesozoic-Cenozoic (eds P. Leturmy and C. Robin): Geological Society, London, Special Publications, **330**, 43-64.
- Roy, S., Ghosh, U., Hazra, S., and Kayal, J. R., 2011, Fractal dimension and b-value mapping in the Andaman-Sumatra subduction zone: Natural Hazards, **57**(1), 27-37.
- Scholz, C.H., 2015, On the stress dependence of the earthquake b value: Geophysical Research Letters, **42**(5), 1399-1402.
- Scholz, C. H., 1968, The frequency-magnitude relation of micro fracturing in rock and its relation to earthquakes: Bulletin of the Seismological Society of America, **58**, 399-415.
- Schorlemmer, D., Wiemer, S., and Wyss, M., 2004, Earthquake statistics at Parkfield: 1. Stationarity of b-values: Journal of Geophysical Research: Solid Earth, **109**.
- Schorlemmer, D., Wiemer, S., and Wyss, M., 2005, Variations in earthquake-size distribution across different stress regimes: Nature, **437**, 539-542.
- Sherkati, S., and Letouzey, J., 2004, Variation of structural style and basin evolution in the central Zagros (Izeh zone and Dezful embayment), Iran: Marine and Petroleum Geology, **21**, 535-554.
- Tatar, M., Hatzfeld, D., Martinod, J., Walpersdorf, A., Ghafory-Ashtiani, M., and Chery, J., 2002, The present-day deformation of the central Zagros from GPS measurements: Geophysical Research Letters, **29**, 33-1 to 33-4.
- Turcotte, D. L., 1986, Fractals and fragmentation: Journal of Geophysical Research, **91**(B2), 1921-1926.
- Utsu, T., 1992, On seismicity, in mathematical seismology (VII), Cooperative research report 34: Institute of statistical mathematics, Tokyo, 139-157.
- Utsu, T., 1999, Representation and analysis of the earthquake size distribution: a historical review and new approaches: Pure and Applied Geophysics, **155**, 509-533.
- Volant, P., and Grasso, J. R., 1994, The finite extension of fractal geometry and power-law distribution of shallow earthquakes: a geomechanical effect: Journal of Geophysical Research, **99**, 21879-21889.
- Wiemer, S., and Wyss, M., 1997, Mapping the frequency-magnitude distribution in asperities: An improved technique to calculate recurrence times?: Journal of Geophysical Research: Solid Earth, **102**, 15115-15128.
- Wiemer, S., and Wyss, M., 2002, Mapping spatial variability of the frequency-magnitude distribution of earthquakes: Advances in Geophysics, **45**, 259-302.
- Wyss, M., 1973, Towards a physical

understanding of the earthquake frequency distribution: Geophysical Journal International, **31**, 341-359.

Yadav, R. B. S., Gahalaut, V. K., Chopra, S., and Shan, B., 2012, Tectonic implications and seismicity triggering during the 2008 Baluchistan, Pakistan earthquake sequence: Journal of Asian Earth Sciences, **45**(2), 167-178.

Yadav, R. B. S., Papadimitrious, E. E., Karakostass, V. G., et al., 2011, The 2007 Talala, Saurashtra, western India earthquake sequence: Tectonic implications and seismicity triggering: Journal of Asian Earth Sciences, **40**(1), 303-314.

Seismic distribution in the south of Zagros using the statistical correlation between b-Value and fractal dimension

Ali Rumina¹, Saeed Zarei^{2*}, Seyed Reza Mansouri² and Omid Azadijou³

¹ M.Sc. Student, Department of Geophysics, Faculty of Nano and Bio Science and Technology, Persian Gulf University, Bushehr, Iran

² Assistant Professor, Department of Geophysics, Faculty of Nano and Bio Science and Technology, Persian Gulf University, Bushehr, Iran

³ Expert of Bushehr Regional Water Company, Bushehr, Iran

(Received: 24 March 2022, Accepted: 30 August 2022)

Summary

During the last two decades, the south part of seismotectonic zone of Zagros (Fars) was active. The Zagros seismotectonic belt consists of a series of fault-related folds that within their evolution, seismic areas and hydrocarbon reservoirs formed. Although the characteristics of Zagros are well known, the distribution of active deformations, style of fault-related folds, and its seismotectonic behavior are among the features that require further investigation.

In this study, changes in seismic rate based on changes in seismic parameter (b-value) and fractal dimension of seismicity (D-value) have been investigated using instrumental seismic data in the period of 2000 to 2021. Total amount of b-value and D-value were calculated by the least square's method and the correlation integral method, respectively. The map of these parameters was plotted by interpolation method.

Frequency-magnitude distribution power law ($\log N = a - bM$) relates the cumulative number of earthquakes (N) to their magnitude (M). This ratio is frequently used in seismic studies. In this relationship, a-value describes the productivity and b-value characterizes relative size distribution of earthquakes. Most b-value studies associate the seismicity parameter with the physical properties of a particular zone.

Since the introduction of fractal in 1976, the fractal concept has covered a wide range of pure mathematics and many experimental aspects of engineering. It has found a comprehensive concept. We analyzed seismicity using the IIEES and IRSC catalog. Decreasing the b-value in the northeastern of study area indicates that stress is increasing, which may signal a future sizable earthquake. The spatial variation of b-value suggests that the SW segment is less stressed compared to the NE segment. Considering that the correlation coefficient is about -0.78, the probability of occurrence of large earthquakes on large area faults increases. The zoning map parameter b-value to D-value ratio found valuable information on the invariance property of the seismic variation scale in the area. These results suggest that this approach can be used as a useful tool to evaluate seismic power distribution on active seismotectonic regions.

According to the zoning maps and the identification of high stress zone in the study area, the north parts of MFF, around Jam and Farashband and in the later stages, Khormuj will be the main candidate areas for future earthquakes. The seismicity pattern analyzed does hold the key to understand the seismotectonics of the region.

Keywords: Zagros, seismic parameters, b-value, fractal dimension

*Corresponding author:

szarei@pgu.ac.ir